

คุณสมบัติเชิงกลและปัจจัยการซึ่งขึ้นชุบสำหรับโพลิเมอร์ผสมระหว่าง
โพลิไพรพีดีน และ โพลิเออมีด-6 ที่มีอิทธิพล-ไพรพีดีน-ไคอิน โค โพลิเมอร์ เป็นตัวช่วยผสม

นางสาว ศรีสังข์ วิทัยศักดิ์



วิทยานิพนธ์นี้เป็นส่วนหนึ่งของการศึกษาตามหลักสูตรปริญญาวิศวกรรมศาสตรมหาบัณฑิต
สาขาวิชาบริหารธุรกิจทางการ ภาควิชาบริหารธุรกิจ
คณะวิศวกรรมศาสตร์ จุฬาลงกรณ์มหาวิทยาลัย
ปีการศึกษา 2542

ISBN 974 - 333 - 684 - 2

ติดต่อที่ช่องจุฬาลงกรณ์มหาวิทยาลัย

**MECHANICAL PROPERTIES AND INJECTION MOULDING FACTORS FOR POLYMER
BLENDS BETWEEN POLYPROPYLENE AND POLYAMIDES-6 WITH THE ETHYLENE-
PROPYLENE-DIENE COPOLYMER AS COMPATIBILIZER**

Miss Srisatja Vitayasak

**A Thesis Submitted in Partial Fulfillment of the Requirements
for the Degree of Master of Engineering in Industrial Engineering**

Department of Industrial Engineering

Faculty of Engineering

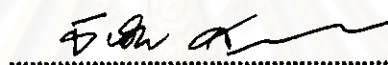
Chulalongkorn University

Academic Year 1999

ISBN 974 - 333 - 684 - 2

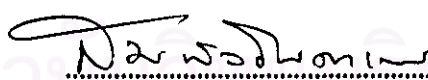
หัวขอวิทยานิพนธ์	คุณสมบัติเชิงก��และปัจจัยการผลักดันรูปแบบรับโภคิเมอร์ที่มีผลกระทบต่อสังคมฯ
โดย	นางสาว กรีศังษา วิทยศักดิ์
ภาควิชา	วิศวกรรมอุตสาหกรรม
อาจารย์ที่ปรึกษา	ผู้ช่วยศาสตราจารย์ ดร.สมชาย พัฒนาเนตร

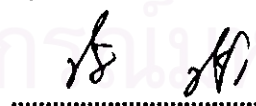
คณะกรรมการศาสตร์ ฯพดงกรณ์มหा�วิทยาลัย อนุมัติให้นับวิทยานิพนธ์ฉบับนี้ เป็นส่วนหนึ่ง ของการศึกษาตามหลักสูตรปริญญามหาบัณฑิต

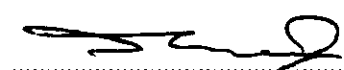
 คณบดีคณะวิศวกรรมศาสตร์
(รองศาสตราจารย์ ดร.รัชชัย สุนิตร)

คณะกรรมการสอนวิทยานิพนธ์

 ประธาน
(ศาสตราจารย์ ดร.ศิริจันทร์ ทองประเสริฐ)

 อาจารย์ที่ปรึกษา
(ผู้ช่วยศาสตราจารย์ ดร.สมชาย พัฒนาเนตร)

 กรรมการ
(รองศาสตราจารย์ จันทนา จันทโร)

 กรรมการ
(รองศาสตราจารย์ สมชาย พวงเพิกศึก)

ศิริสังข์ วิทักษัคคี : ถุณสมบัติเชิงกลและปัจจัยการฉีดขึ้นรูปสำหรับโพลิเมอร์ผสมระหว่างไโพลิไพริพอเลิน และไโพลีเอมิค-6 ที่มีอีทีอีน-ไทรพิลีน-ไกอิน ໄโคไพล์เมอร์ เป็นตัวช่วยผสม (MECHANICAL PROPERTIES AND INJECTION MOULDING FACTORS FOR POLYMER BLENDS BETWEEN POLYPROPYLENE AND POLYAMIDES-6 WITH THE ETHYLENE-PROPYLENE-DIENE COPOLYMER AS COMPATIBILIZER) อ.ที่ปรึกษา : ผู้ช่วยศาสตราจารย์ ดร.สมชาย พัฒนาเนตร ; 216 หน้า ISBN 974 - 333 - 684 - 2

งานวิจัยนี้ได้ศึกษาถึงอิทธิพลของตัวสั่นผสมของไโพลิเมอร์ และตัวเปลี่ยนรูปที่มีผลต่อคุณสมบัติ เชิงกล และอัตราการฉีดขึ้นรูป โดยวัสดุที่ศึกษา คือ ไโพลิเมอร์ผสมระหว่างไโพลิไพริพอเลิน (Polypropylene:PP) และไโพลีเอมิค-6 (Polyamides-6:PA-6) ที่มี EPDM (Ethylene-Propylene-Diene Copolymer) เป็นตัวประسان ให้ศึกษา ถุณสมบัติทางกายภาพ ได้แก่ อัตราการไหล และ ความหนาแน่น ถุณสมบัติเชิงกล ได้แก่ ความทนต่อแรงดึง ในสูตรความอิคหุ่น เปอร์เซ็นต์ความอิคหุ่น ความแข็ง และความทนต่อแรงกระแทก การทดสอบแบ่งเป็น 2 ขั้นตอน ดังนี้ (1) ศึกษาอัตราการไหลของไโพลิเมอร์ผสมและอุณหภูมิในการฉีดขึ้นรูป นำไโพลิเมอร์ผสมประกัน ตัวสั่นสั่น ส่วนของ PP และ PA-6 ระหว่าง 0-100% โดยน้ำหนัก และ EPDM มาผสม ในตัวสั่นระหว่าง 0-15% โดยน้ำหนัก ชั้นงานได้จากการฉีดขึ้นรูปโดยใช้เครื่องฉีดขึ้นรูป (Injection Moulding) (2) ศึกษาอิทธิพลของตัวสั่น ผสมของไโพลิเมอร์และตัวเปลี่ยนรูปที่มีผลต่อคุณสมบัติเชิงกายภาพและเชิงกล และอัตราการฉีดขึ้นรูป โดย ตัวเปลี่ยนรูปที่ใช้ในการศึกษาครั้งนี้ คือ แรงดันดันกลับ เวลาเย็บตัว แรงดันรักษาให้ชั้นงานอยู่ในแม่พิมพ์ เวลารักษา ให้ชั้นงานอยู่ในแม่พิมพ์แรงดันฉีด ความเร็วฉีด อุณหภูมิหัวฉีด และความเร็วอบสกู๊ฟ

ผลการทดลองในขั้นตอนแรกพบว่า ไโพลิเมอร์ผสม PP/PA-6/EPDM สามารถฉีดขึ้นรูปที่อุณหภูมิระหว่าง 225-245°C อุณหภูมิที่หัวฉีดมีผลต่อค่าในสูตรความอิคหุ่นของไโพลิเมอร์ผสมคือ 245°C สำหรับเวลาเย็บตัว เวลา รักษาให้ชั้นงานอยู่ในแม่พิมพ์และชนิดของไโพลิเมอร์มีผลต่ออัตราการฉีดขึ้นรูป ไโพลิเมอร์ผสม PP/PA-6/EPDM (30/70/15) ซึ่งให้ค่าความทนต่อแรงกระแทกสูงสุดเท่ากับ 7.07 กิโลกรัม/ตร.ม. จะใช้เวลารักษาการฉีดขึ้นรูปนาน 30 วินาที ให้ห้องท่าการฉีดขึ้นรูปที่แรงดันดันกลับ 3 บาร์ เวลาเย็บตัว 12 วินาที แรงดันรักษาให้ชั้นงานอยู่ในแม่พิมพ์ 12 บาร์ เวลารักษาให้ชั้นงานอยู่ในแม่พิมพ์ 1 วินาที แรงดันฉีด 25 บาร์ ความเร็วฉีด 30 เปอร์เซ็นต์ อุณหภูมิหัวฉีด 225 องศาเซลเซียส และความเร็วอบสกู๊ฟ 25 รอบ/นาที ถุณสมบัติของไโพลิเมอร์ผสมจะแปรไปตามไโพลิเมอร์ ที่มีปริมาณมากกว่า เมื่อเดิม EPDM เข้าไปจะทำให้อัตราการไหล ความหนาแน่น ความทนต่อแรงดึง ในสูตรความอิคหุ่น และความแข็งลดลง แต่จะทำให้เปอร์เซ็นต์ความอิคหุ่นและความทนต่อแรงกระแทกเพิ่มขึ้น โครงสร้าง ถุณภาพของไโพลิเมอร์ผสม PP/PA-6 จะมีตัวตนจะเป็นสองเท่าของชั้นเส้นเมื่อ PP มีปริมาณน้อยกว่า 50% โดย PP จะกระชาญเป็นเม็ดกลมอยู่บนเนื้อพื้นของ PA-6 เมื่อเดิม EPDM เข้าไป จะทำให้ไโพลิเมอร์ทั้งสองเข้ากันได้ดีขึ้น และมีการรวมตัวกันมากขึ้น

ภาควิชา.....วิศวกรรมอุตสาหกรรม..... ลายมือชื่อนิสิต.....
สาขาวิชา.....วิศวกรรมอุตสาหกรรม..... ลายมือชื่ออาจารย์ที่ปรึกษา.....
ปีการศึกษา..2542..... ลายมือชื่ออาจารย์ที่ปรึกษาร่วม.....

SRISATJA VITAYASAK : MECHANICAL PROPERTIES AND INJECTION MOULDING FACTORS FOR POLYMER BLENDS BETWEEN POLYPROPYLENE AND POLYAMIDES-6 WITH THE ETHYLENE-PROPYLENE-DIENE COPOLYMER AS COMPATIBILIZER. THESIS ADVISOR : SOMCHAI PUAJINDANETR, Assistant Professor Ph.D. 216 pp. ISBN 974-333-684-2

The objective of this thesis was to study the effect of composition and injection moulding factors on mechanical properties and cycle time. The materials studied were polypropylene(PP) and polyamides(PA-6) blends which used ethylene-propylene-diene copolymer (EPDM) as a compatibilizer. The physical and mechanical properties studied were melt flow rate, density, tensile properties, impact strength and hardness and microstructure. The experimental study was divided into two stages (1) studying the melt flow rate and determining the temperature for injection moulding. The composition of polymer blends which were PP and PA-6 were varied ranging from 0-100% by weight and EPDM was varied ranging from 0-15% by weight. The specimens were performed using injection moulding machine. (2) studying effect of composition and injection moulding factors on physical and mechanical properties and cycle time. The injection moulding factor investigated were back pressure, cooling time, holding pressure, holding time, injection pressure, injection speed, nozzle temperature and screw speed.

The experimental results showed that the applicable temperature of polymer blends with PP/PA-6/EPDM was between 225-245°C . The nozzle temperature that gave the highest modulus of elasticity was 245°C. Cooling time, holding time and type of polymer were effect on the cycle time. The cycle time of the PP/PA-6/EPDM (30/70/15) that provided the highest impact strength of 7.07 kJ/m² was 30 seconds. The injection moulding factors of the composition were back pressure of 3 bars, cooling time of 12 sec, holding pressure of 12 bars, holding time of 1 sec, injection pressure of 25 bars, injection speed of 30%, nozzle temperature of 225 °C and screw speed of 25 rpm. The The properties of PP/PA-6 blends, which were melt flow rate, density, tensile strength, modulus of elasticity, % elongation, impact strength and hardness were dependent on the main portion of polymer . Increasing with EPDM decreased with the properties of the material such as melt flow rate, density, tensile strength, modulus of elasticity and hardness whereas increased with %elongation and impact strength. Microstructure of PP/PA-6/EPDM blends showed two phases system that the less one was dispersed on the other. EPDM could make PP and PA-6 more compatible.

ภาควิชา.....วิศวกรรมอุตสาหการ..... ลายมือชื่อนักศึกษา..... ๘๓๖๗๗ วิรัชลักษณ์
สาขาวิชา.....วิศวกรรมอุตสาหการ..... ลายมือชื่ออาจารย์ที่ปรึกษา..... พันธุ์ชัยพร
ปีการศึกษา: 2542..... ลายมือชื่ออาจารย์ที่ปรึกษาร่วม.....



กิตติกรรมประกาศ

วิทยานิพนธ์ฉบับนี้สำเร็จดุลต้องไปศึกษา
คร.สุนชาต พัฒนาเนตร อาจารย์ที่ปรึกษาวิทยานิพนธ์ ที่ได้ให้ทั้งความรู้ คำปรึกษา ตลอดจน
ข้อคิดเห็นดีๆ อันเป็นประโยชน์อย่างยิ่ง ตลอดระยะเวลาของการทำวิทยานิพนธ์

ขอกราบขอบพระคุณ ศาสตราจารย์ ดร.ศิริจันทร์ ทองประเสริฐ ประธานกรรมการ
สอบวิทยานิพนธ์ รองศาสตราจารย์ จันทนา จันทไช และ รองศาสตราจารย์ สมชาย พวงเพิ่กศักดิ์
กรรมการสอบวิทยานิพนธ์ ที่กรุณาให้ข้อคิดเห็นและข้อเสนอแนะสำหรับวิทยานิพนธ์ฉบับนี้

ขอกราบขอบพระคุณ มหาวิทยาลัยธรรมศาสตร์ ที่ได้ให้ความอนุเคราะห์เครื่องมือชั้นสูง ชั้นงาน
เครื่องทดสอบแรงดึง และเครื่องทดสอบแรงกระแทก ของขอบพระคุณเจ้าหน้าที่ที่เกี่ยว ข้องทุกท่าน
ที่ให้ความอนุเคราะห์ และย้ำ咐ความระดูใน การทำวิทยานิพนธ์ฉบับนี้สำเร็จดุลต้องไปศึกษา
และขอบคุณเพื่อนๆ นิสิตภาควิชาศึกษาธุรกิจ ที่ได้ให้กำลังใจ ไม่เคยลดลง

ท้ายนี้ ขอกราบขอบพระคุณบิรา-มารดา ผู้เป็นสิ่งที่มั่นคงใจ และให้กำลังใจตลอดเวลา
ชนวิทยานิพนธ์ฉบับนี้สำเร็จลง

สถาบันวิทยบริการ
จุฬาลงกรณ์มหาวิทยาลัย

สารบัญ

หน้า

บทคัดย่อภาษาไทย	๕
บทคัดย่อภาษาอังกฤษ	๖
กติกาและระเบียบ	๗
สารบัญตาราง	๘
สารบัญรูป	๙
บทที่ ๑ บทนำ	๑
1.1 หลักการและเหตุผล.....	๑
1.2 วัตถุประสงค์ของการวิจัย.....	๓
1.3 ขอบเขตของการวิจัย.....	๓
1.4 ประโยชน์ที่คาดว่าจะได้รับ.....	๔
1.5 วิธีดำเนินงานวิจัย.....	๕
บทที่ ๒ หลักการพื้นฐานและงานวิจัยที่เกี่ยวข้อง	๖
2.1 หลักการพื้นฐานที่เกี่ยวกับไฟลิเมอร์.....	๖
2.1.1 ไฟลิไฟฟิกิน.....	๖
2.1.2 ไฟลิเอมีค.....	๗
2.1.3 เยกทิลิน-ไฟฟิกิน-ไคลอิน-โคไฟลิเมอร์.....	๙
2.1.4 ไฟลิเมอร์ฟอก.....	๑๐
2.1.5 การผสานกลุ่มกืนกัน.....	๑๑
2.1.6 ตัวแปรที่มีอิทธิพลต่อการควบคุมการผสานชื่นญูปกาศดิก.....	๑๔
2.1.7 ความสำคัญของการไฟฟิก.....	๑๗
2.1.8 การเตือนของไฟลิเมอร์.....	๑๘
2.2 การวิเคราะห์การทดลอง.....	๑๙
2.3 งานวิจัยที่เกี่ยวข้อง.....	๒๓
บทที่ ๓ วิธีดำเนินงานวิจัย	
3.1 การเตรียมส่วนผสมและการเข็นญูปชั้นทดสอบ.....	๒๘

3.1.1 วัสดุและอุปกรณ์.....	28
3.1.2 การเตรียมส่วนผสมระหว่าง PP PA-6 และ EPDM.....	28
3.1.3 การขึ้นรูปชิ้นทดสอบ.....	28
3.2 การทดสอบอัตราการไหลตัว.....	30
3.3 การตรวจสอบโครงสร้างจุดภาคของชิ้นทดสอบ.....	31
3.4 การทดสอบความหนาแน่นและคุณสมบัติเชิงกล.....	32
3.4.1 ความหนาแน่น.....	32
3.4.2 คุณสมบัติภายในได้แรงดึง.....	32
3.4.3 การทดสอบความแข็งแรงของวัสดุภายใต้แรงกระแทก.....	34
3.4.4 การทดสอบความแข็ง.....	34
3.5 การวิเคราะห์ผลการทดสอบเชิงสถิติ.....	35
3.5.1 การวิเคราะห์ความแปรปรวน.....	35
3.5.2 การวิเคราะห์การลดด้อย.....	35
บทที่ 4 ผลการทดสอบและการวิเคราะห์	
4.1 ผลการทดสอบอัตราการไหลตัว.....	37
4.2 ผลการพิจารณาตัวแปรการฉีดขึ้นรูป.....	44
4.2.1 สักษณะทางกายภาพ.....	45
4.2.2 น้ำหนักกิจกรรมงาน.....	46
4.2.3 เบอร์เซ็นต์หล่อ.....	50
4.2.4 ความหนาต่ำแรงดึง.....	54
4.2.5 ไม่ถัดส่วนความยืดหยุ่น.....	58
4.2.6 เบอร์เซ็นต์ความยืดหยุ่น.....	62
4.2.7 ความหนาต่ำแรงกระแทก.....	66
4.2.8 ความแข็ง.....	70
4.2.9 รอบเวลาการฉีดขึ้นรูป.....	74
4.2.10 สรุปการพิจารณาตัวแปรการฉีดขึ้นรูป.....	79
4.3 ผลการตรวจสอบโครงสร้างจุดภาค.....	80

4.4 ผลการทดสอบลักษณะทางกายภาพ ความหนาแน่นและคุณสมบัติเชิงกล.....	86
4.4.1 ลักษณะทางกายภาพ.....	86
4.4.2 ความหนาแน่น	87
4.4.3 ความทันต่อแรงดึง.....	87
4.4.4 ในอุตสาหกรรมยีดหยุ่น.....	87
4.4.5 เปอร์เซ็นต์ความยืดหยุ่น.....	96
4.4.6 ความทนต่อแรงกระแทก.....	96
4.4.7 ความแข็ง.....	96
4.5 การวิเคราะห์ผลการทดสอบเชิงสถิติ.....	102
4.5.1 การวิเคราะห์ความแปรปรวนของข้อมูล.....	102
4.5.2 การวิเคราะห์การถดถอยของข้อมูล.....	115
4.6 การวิเคราะห์ความสัมพันธ์ระหว่างคุณสมบัติของโพลิเมอร์พลาสติก.....	127
4.6.1 ความสัมพันธ์ระหว่างอัตราการไหลตัวกับความหนาแน่น และคุณสมบัติเชิงกล.....	127
4.6.2 ความสัมพันธ์ระหว่างความหนาแน่นกับคุณสมบัติเชิงกล.....	128
4.6.3 ความสัมพันธ์ระหว่างคุณสมบัติเชิงกล.....	128
4.6.4 สรุปผลการวิเคราะห์ความสัมพันธ์ระหว่างคุณสมบัติ.....	129
4.7 สรุปผลการวางแผนการทดสอบ.....	136
บทที่ 5 วิจารณ์ผลการทดสอบ	
5.1 โครงสร้างทางเคมีของโพลิเมอร์พลาสติก.....	142
5.2 ตัวแปรการนิคเข็บรูป.....	143
5.3 คุณสมบัติเชิงกายภาพและเชิงกล.....	143
5.3.1 อัตราการไหลตัว.....	143
5.3.2 ความหนาแน่น	145
5.3.3 ความทันต่อแรงดึง.....	145
5.3.4 ในอุตสาหกรรมยีดหยุ่น.....	146
5.3.5 เปอร์เซ็นต์ความยืดหยุ่น.....	147

5.3.6 ความหนาต่อแรงกระแทก.....	147
5.3.7 ความแข็ง.....	148
5.4 ความถันพื้นของขั้วการไหตัว คุณสมบัติเชิงกายภาพและเชิงกล.....	148
5.5 สัมส่วนของโพลิเมอร์พลาสติกที่ให้ค่าคุณสมบัติเชิงกลดีที่สุด.....	149
5.6 การเปรียบเทียบคุณสมบัติระหว่างโพลิเมอร์พลาสติก PP/PA-6/EPDM กับ PP/HDPE/EPDM.....	149
บทที่ 6 สรุปผลการทดสอบและข้อเสนอแนะ	
6.1 สรุปผลการทดสอบ.....	155
6.2 ข้อเสนอแนะ.....	156
รายการอ้างอิง.....	158
ภาคผนวก	
ภาคผนวก ก ผลกระทบถ่ายทอดรังสีจากของโพลิเมอร์พลาสติก.....	162
ภาคผนวก ข ผลการทดสอบคุณสมบัติทางกายภาพและเชิงกล.....	173
ภาคผนวก ค ตัวอย่างผลการวิเคราะห์ SPSS Version 7.5.1.....	201
ประวัติผู้เขียน.....	216

สถาบันวิทยบริการ จุฬาลงกรณ์มหาวิทยาลัย

สารบัญตาราง

ตารางที่	หน้า
1.1 คุณสมบัติของโพลิไทริดีนและไพลิไพรพีดีน.....	2
2.1 คุณสมบัติของโพลิไพรพีดีน.....	7
2.2 คุณสมบัติของโพลิเออมิคโดยแบ่งตามเกรด.....	9
2.3 คุณสมบัติเชิงกลของสัมผัสบนไนท์เน็ตที่แตกต่างกัน.....	24
3.1 ส่วนผสมสำหรับโพลิเมอร์พีปี PP/PA-6/EPDM.....	29
3.2 ค่าตัวแปรการฉีดขึ้นรูป.....	30
4.1 ผลของค่าเฉลี่ยอัตราการไหกตัวของโพลิเมอร์พีปี PP/PA-6/EPDM ที่อุณหภูมิหกตอนละถาย 225°C	38
4.2 ผลของค่าเฉลี่ยอัตราการไหกตัวของโพลิเมอร์พีปี PP/PA-6/EPDM ที่อุณหภูมิหกตอนละถาย 235°C	38
4.3 ผลของค่าเฉลี่ยอัตราการไหกตัวของโพลิเมอร์พีปี PP/PA-6/EPDM ที่อุณหภูมิหกตอนละถาย 245°C	39
4.4 ผลของค่าเฉลี่ยน้ำหนักของชิ้นงานของ PP และ PA-6 เมื่อมีการเปลี่ยน ค่าตัวแปรฉีดขึ้นรูปและค่า P-value ที่คำนวณได้จากการทดสอบ ANOVA	47
4.5 ผลของค่าเฉลี่ยปอร์เซ็นต์หกตัวของชิ้นงานของ PP และ PA-6 เมื่อมีการเปลี่ยน ค่าตัวแปรฉีดขึ้นรูป และค่า P-value ที่คำนวณได้จากการทดสอบ ANOVA.....	51
4.6 ผลของค่าเฉลี่ยความหนาต่ำแรงดึงของ PP และ PA-6 เมื่อมีการเปลี่ยน ค่าตัวแปรฉีดขึ้นรูปและค่า P-value ที่คำนวณได้จากการทดสอบ ANOVA	55
4.7 ผลของค่าเฉลี่ยในคุณภาพความยืดหยุ่นของ PP และ PA-6 เมื่อมีการเปลี่ยน ค่าตัวแปรฉีดขึ้นรูปและค่า P-value ที่คำนวณได้จากการทดสอบ ANOVA	59
4.8 ผลของค่าเฉลี่ยปอร์เซ็นต์ความยืดหยุ่นของ PP และ PA-6 เมื่อมีการเปลี่ยน ค่าตัวแปรฉีดขึ้นรูปและค่า P-value ที่คำนวณได้จากการทดสอบ ANOVA.....	63
4.9 ผลของค่าเฉลี่ยความหนาต่ำแรงกระแทกของ PP และ PA-6 เมื่อมีการเปลี่ยน ค่าตัวแปรฉีดขึ้นรูปและค่า P-value ที่คำนวณได้จากการทดสอบ ANOVA	67

4.10 ผลของค่าเฉลี่ยความแข็งของ PP และ PA-6 เมื่อมีการเปลี่ยน ค่าตัวแปรฉีดขึ้นรูปแต่ค่า P-value ที่คำนวณได้จากการทดสอบ ANOVA.....	71
4.11 ผลของค่าเฉลี่ยรับเวลาการฉีดขึ้นรูปของ PP และ PA-6 เมื่อมีการเปลี่ยน ค่าตัวแปรฉีดขึ้นรูป.....	75
4.12 สรุปผลของตัวแปรฉีดขึ้นรูปที่มีผลต่อคุณภาพบด เมื่อพิจารณาจากค่า P-value.....	78
4.13 ค่าตัวแปรฉีดขึ้นรูปที่ให้ลักษณะทางกายภาพที่ดี.....	86
4.14 ผลของค่าเฉลี่ยความหนาแน่นของโพลิเมอร์พลาสติก PP/PA-6/EPDM ที่อุณหภูมิหัวฉีด 225 °C	88
4.15 ผลของค่าเฉลี่ยความหนาต่อแรงดึงของโพลิเมอร์พลาสติก PP/PA-6/EPDM ที่อุณหภูมิหัวฉีด 225 °C	88
4.16 ผลของค่าเฉลี่ยคุณภาพความยืดหยุ่นของโพลิเมอร์พลาสติก PP/PA-6/EPDM ที่อุณหภูมิหัวฉีด 225 °C.....	89
4.17 ผลของค่าเฉลี่ยในคุณภาพความยืดหยุ่นของโพลิเมอร์พลาสติก PP/PA-6/EPDM ที่อุณหภูมิหัวฉีด 245 °C.....	89
4.18 ผลของค่าเฉลี่ยในคุณภาพความยืดหยุ่นของโพลิเมอร์พลาสติก PP/PA-6/EPDM ที่อุณหภูมิหัวฉีด 260 °C.....	90
4.19 ผลของค่าเฉลี่ยเบอร์เซ็นต์ความยืดหยุ่นของโพลิเมอร์พลาสติก PP/PA-6/EPDM ที่อุณหภูมิหัวฉีด 225 °C	97
4.20 ผลของค่าเฉลี่ยความหนาต่อแรงกระแทกของโพลิเมอร์พลาสติก PP/PA-6/EPDM ที่อุณหภูมิหัวฉีด 225 °C.....	97
4.21 ผลของค่าเฉลี่ยความแข็งของโพลิเมอร์พลาสติก PP/PA-6/EPDM ที่อุณหภูมิหัวฉีด 225 °C	98
4.22 ผลการวิเคราะห์ความแปรปรวนของข้อมูลค่าอัตราการไหลตัวของ โพลิเมอร์พลาสติก PP/PA-6/EPDM.....	103
4.23 ผลการวิเคราะห์ความแปรปรวนของข้อมูลค่าความหนาแน่นของ โพลิเมอร์พลาสติก PP/PA-6/EPDM ที่อุณหภูมิหัวฉีด 225 °C	104

4.24 ผลการวิเคราะห์ความแปรปรวนของข้อมูลค่าความหนาต่อแรงดึงของ ไพลิเมอร์พัฒนา PP/PA-6/EPDM ที่อุณหภูมิหัวฉีด 225 °C	105
4.25 ผลการวิเคราะห์ความแปรปรวนของข้อมูลค่าในคุณภาพความยืดหยุ่นของ ไพลิเมอร์พัฒนา PP/PA-6/EPDM ที่อุณหภูมิหัวฉีด 225 °C.....	106
4.26 ผลการวิเคราะห์ความแปรปรวนของข้อมูลค่าในคุณภาพความยืดหยุ่นของ ไพลิเมอร์พัฒนา PP/PA-6/EPDM และอุณหภูมิหัวฉีด.....	108
4.27 ผลการวิเคราะห์ความแปรปรวนของข้อมูลค่าปอร์เซ็นต์ความยืดหยุ่นของ ไพลิเมอร์พัฒนา PP/PA-6/EPDM ที่อุณหภูมิหัวฉีด 225 °C.....	109
4.28 ผลการวิเคราะห์ความแปรปรวนของข้อมูลค่าความหนาต่อแรงกระแทกของ ไพลิเมอร์พัฒนา PP/PA-6/EPDM ที่อุณหภูมิหัวฉีด 225 °C	111
4.29 ผลการวิเคราะห์ความแปรปรวนของข้อมูลค่าความแข็งของ ไพลิเมอร์พัฒนา PP/PA-6/EPDM ที่อุณหภูมิหัวฉีด 225 °C	112
4.30 ผลสรุปการวิเคราะห์ความแปรปรวนของไพลิเมอร์พัฒนา PP/PA-6/EPDM.....	113
4.31 ผลการวิเคราะห์ความแปรปรวนและสัมประสิทธิ์ของ stemming การถอดอักษรของข้อมูล ค่าอัตราการไฟด์ตัวของไพลิเมอร์พัฒนา PP/PA-6/EPDM ที่อุณหภูมิหกตองละลาย 225 °C.....	116
4.32 ผลการวิเคราะห์ความแปรปรวนและสัมประสิทธิ์ของ stemming การถอดอักษรของข้อมูล ค่าอัตราการไฟด์ตัวของไพลิเมอร์พัฒนา PP/PA-6/EPDM ที่อุณหภูมิหกตองละลาย 235 °C.....	117
4.33 ผลการวิเคราะห์ความแปรปรวนและสัมประสิทธิ์ของ stemming การถอดอักษรของข้อมูล ค่าอัตราการไฟด์ตัวของไพลิเมอร์พัฒนา PP/PA-6/EPDM ที่อุณหภูมิหกตองละลาย 245 °C.....	117
4.34 ผลการวิเคราะห์ความแปรปรวนและสัมประสิทธิ์ของ stemming การถอดอักษรของข้อมูล ค่าความหนาแน่นของไพลิเมอร์พัฒนา PP/PA-6/EPDM ที่อุณหภูมิหัวฉีด 225 °C.....	119
4.35 ผลการวิเคราะห์ความแปรปรวนและสัมประสิทธิ์ของ stemming การถอดอักษรของข้อมูล ค่าความหนาต่อแรงดึงของไพลิเมอร์พัฒนา PP/PA-6/EPDM ที่อุณหภูมิหัวฉีด 225 °C.....	120
4.36 ผลการวิเคราะห์ความแปรปรวนและสัมประสิทธิ์ของ stemming การถอดอักษรของข้อมูล ค่าในคุณภาพความยืดหยุ่นของไพลิเมอร์พัฒนา PP/PA-6/EPDM ที่อุณหภูมิหัวฉีด 225 °C.....	122

4.37 ผลการวิเคราะห์ความแปรปรวนและถั่นปะติทช์ของ stemming การลดดอข้อมูล ค่าไม่ถูกต้องความยึดหยุ่นของโพลิเมอร์พลาสติก PP/PA-6/EPDM ที่อุณหภูมิห้ามฉีด 245°C.....	122
4.38 ผลการวิเคราะห์ความแปรปรวนและถั่นปะติทช์ของ stemming การลดดอข้อมูล ค่าไม่ถูกต้องความยึดหยุ่นของโพลิเมอร์พลาสติก PP/PA-6/EPDM ที่อุณหภูมิห้ามฉีด 260°C.....	123
4.39 ผลการวิเคราะห์ความแปรปรวนและถั่นปะติทช์ของ stemming การลดดอข้อมูล ค่าเบอร์เท็นด์ความยึดหยุ่นของโพลิเมอร์พลาสติก PP/PA-6/EPDM ที่อุณหภูมิห้ามฉีด 225°C....	124
4.40 ผลการวิเคราะห์ความแปรปรวนและถั่นปะติทช์ของ stemming การลดดอข้อมูล ค่าความทนต่อแรงกระแทกของโพลิเมอร์พลาสติก PP/PA-6/EPDM ที่อุณหภูมิห้ามฉีด 225°.....	125
4.41 ผลการวิเคราะห์ความแปรปรวนและถั่นปะติทช์ของ stemming การลดดอข้อมูล ค่าความแข็งของโพลิเมอร์พลาสติก PP/PA-6/EPDM ที่อุณหภูมิห้ามฉีด 225°C	127
4.42 สรุปผลค่าเฉลี่ยอัตราการไหลดตัวของโพลิเมอร์พลาสติก PP/PA-6/EPDM.....	137
4.43 สรุปผลค่าเฉลี่ยของคุณสมบัติเชิงกายภาพและเชิงกลของโพลิเมอร์พลาสติก PP/PA-6/EPDM.....	138
4.44 สรุปผลของ stemming ความถันพันธ์ระหว่าง PP PA-6 และ EPDM ที่มีต่อ ^{คุณสมบัติเชิงกายภาพ และเชิงกลของ โพลิเมอร์พลาสติก PP/PA-6/EPDM.....}	140
4.45 สรุปผลของ stemming ความถันพันธ์ระหว่างคุณสมบัติกับคุณสมบัติของ โพลิเมอร์พลาสติก PP/PA-6/EPDM.....	141
5.1 สรุปตัวแปรผู้ทดสอบที่ให้ค่าคุณสมบัติเชิงกลต่ำที่สุด.....	150
5.2 การเปรียบเทียบคุณสมบัติระหว่าง โพลิเมอร์พลาสติก PP/PA-6/EPDM กับ HDPE/PP/EPDM.....	153

จุดเด่นของโครงการ

จุดเด่นของโครงการ

สารบัญ

รูปที่

หน้า

2.1 โนโนเมอร์ที่ให้ความไม่อ่อนตัวในยาง EPDM.....	10
2.2 ผลของพารามิเตอร์ที่สามารถควบคุมได้.....	16
4.1 ความสัมพันธ์ระหว่างค่าอัตราการให้ตัวของโพลิเมอร์ผสม PP/PA-6/EPDM กับปริมาณ PA-6 และ EPDM ที่อุณหภูมิทดสอบคงถาวร 225°C	40
4.2 ความสัมพันธ์ระหว่างค่าอัตราการให้ตัวของโพลิเมอร์ผสม PP/PA-6/EPDM กับปริมาณ PA-6 และ EPDM ที่อุณหภูมิทดสอบคงถาวร 235°C	41
4.3 ความสัมพันธ์ระหว่างค่าอัตราการให้ตัวของโพลิเมอร์ผสม PP/PA-6/EPDM กับปริมาณ PA-6 และ EPDM ที่อุณหภูมิทดสอบคงถาวร 245°C	42
4.4 ความสัมพันธ์ระหว่างค่าอัตราการให้ตัวของโพลิเมอร์ผสม PP/PA-6/EPDM กับอุณหภูมิทดสอบคงถาวร.....	43
4.5 ความสัมพันธ์ระหว่างค่าน้ำหนักชั้นงานของโพลิเมอร์ PP และ PA-6 กับตัวแปรฉีดขึ้นรูป.....	48
4.6 ความสัมพันธ์ระหว่างค่าเบอร์เซ็นต์ให้ตัวของชั้นงานของโพลิเมอร์ PP และ PA-6 กับตัวแปรฉีดขึ้นรูป.....	52
4.7 ความสัมพันธ์ระหว่างค่าความทนต่อแรงดึงของโพลิเมอร์ PP และ PA-6 กับตัวแปรฉีดขึ้นรูป.....	56
4.8 ความสัมพันธ์ระหว่างค่าไมอุตส์ความยืดหยุ่นของโพลิเมอร์ PP และ PA-6 กับตัวแปรฉีดขึ้นรูป.....	60
4.9 ความสัมพันธ์ระหว่างค่าเบอร์เซ็นต์ความยืดหยุ่นของโพลิเมอร์ PP และ PA-6 กับตัวแปรฉีดขึ้นรูป.....	64
4.10 ความสัมพันธ์ระหว่างค่าความทนต่อแรงกระแทกของโพลิเมอร์ PP และ PA-6 กับตัวแปรฉีดขึ้นรูป.....	68

4.11 ความสัมพันธ์ระหว่างค่าความแข็งของโพลิเมอร์ PP และ PA-6 กับตัวแปรฉีดเขี้ยวนูป.....	72
4.12 ความสัมพันธ์ระหว่างค่าออมเวลาการเผาผิงของโพลิเมอร์ PP และ PA-6 กับตัวแปรฉีดเขี้ยวนูป.....	76
4.13 ภาพถ่ายโครงสร้างชุตภัณฑ์วีเวฟผิวน้ำรอยหักของ PP ที่มี กำลังขยาย 1,500 เท่า ที่อุณหภูมิหัวฉีด 225°C.....	81
4.14 ภาพถ่ายโครงสร้างชุตภัณฑ์วีเวฟผิวน้ำรอยหักของ PA-6 ที่มี กำลังขยาย 1,500 เท่า ที่อุณหภูมิหัวฉีด 225°C.....	81
4.15 ภาพถ่ายโครงสร้างชุตภัณฑ์วีเวฟผิวน้ำรอยหักของโพลิเมอร์ผสม PP/PA-6 (90/10) ไม่มี EPDM ที่มีกำลังขยาย 1,500 เท่า ที่อุณหภูมิหัวฉีด 225°C.....	82
4.16 ภาพถ่ายโครงสร้างชุตภัณฑ์วีเวฟผิวน้ำรอยหักของโพลิเมอร์ผสม PP/PA-6 (70/30) ไม่มี EPDM ที่มีกำลังขยาย 1,500 เท่า ที่อุณหภูมิหัวฉีด 225°C	82
4.17 ภาพถ่ายโครงสร้างชุตภัณฑ์วีเวฟผิวน้ำรอยหักของโพลิเมอร์ผสม PP/PA-6 (50/50) ไม่มี EPDM ที่มีกำลังขยาย 1,500 เท่า ที่อุณหภูมิหัวฉีด 225°C	83
4.18 ภาพถ่ายโครงสร้างชุตภัณฑ์วีเวฟผิวน้ำรอยหักของโพลิเมอร์ผสม PP/PA-6 (30/70) ไม่มี EPDM ที่มีกำลังขยาย 1,500 เท่า ที่อุณหภูมิหัวฉีด 225°C	83
4.19 ภาพถ่ายโครงสร้างชุตภัณฑ์วีเวฟผิวน้ำรอยหักของโพลิเมอร์ผสม PP/PA-6 (10/90) ไม่มี EPDM ที่มีกำลังขยาย 1,500 เท่า ที่อุณหภูมิหัวฉีด 225°C	84
4.20 ภาพถ่ายโครงสร้างชุตภัณฑ์วีเวฟผิวน้ำรอยหักของโพลิเมอร์ผสม PP/PA-6 (10/90) มี EPDM 5% ที่กำลังขยาย 1,500 เท่า ที่อุณหภูมิหัวฉีด 225°C.....	84
4.21 ภาพถ่ายโครงสร้างชุตภัณฑ์วีเวฟผิวน้ำรอยหักของโพลิเมอร์ผสม PP/PA-6 (10/90) มี EPDM 10% ที่กำลังขยาย 1,500 เท่า ที่อุณหภูมิหัวฉีด 225°C.....	85
4.22 ภาพถ่ายโครงสร้างชุตภัณฑ์วีเวฟผิวน้ำรอยหักของโพลิเมอร์ผสม PP/PA-6 (10/90) มี EPDM 15% ที่กำลังขยาย 1,500 เท่า ที่อุณหภูมิหัวฉีด 225°C.....	85
4.23 ความสัมพันธ์ระหว่างค่าความหนาแน่นของโพลิเมอร์ผสม PP/PA-6/EPDM กับปริมาณ PA-6 และ EPDM ที่อุณหภูมิหัวฉีด 225°C	91

4.24 ความสัมพันธ์ระหว่างค่าความทนต่อแรงดึงของโพลิเมอร์ผสม PP/PA-6/EPDM กับปริมาณ PA-6 และ EPDM.....	92
4.25 ความสัมพันธ์ระหว่างค่าไมอุตถะความยึดหยุ่นของโพลิเมอร์ผสม PP/PA-6/EPDM กับปริมาณ PA-6 และ EPDM ที่อุณหภูมิ 225°C	93
4.26 ความสัมพันธ์ระหว่างค่าไมอุตถะความยึดหยุ่นกับปริมาณ EPDM ที่อุณหภูมิหัวฉีด 225°C	94
4.27 ความสัมพันธ์ระหว่างค่าไมอุตถะความยึดหยุ่นของโพลิเมอร์ผสม PP/PA-6/EPDM กับปริมาณ PA-6 และ EPDM ตั้งแต่อุณหภูมิ $225 - 260^{\circ}\text{C}$	95
4.28 ความสัมพันธ์ระหว่างค่าเบอร์เซ็นต์ความยึดหยุ่นของโพลิเมอร์ผสม PP/PA-6/EPDM กับปริมาณ PA-6 และ EPDM ที่อุณหภูมิหัวฉีด 225°C	99
4.29 ความสัมพันธ์ระหว่างค่าความทนต่อแรงกระแทกของโพลิเมอร์ผสม PP/PA-6/EPDM กับปริมาณ PA-6 และ EPDM ที่อุณหภูมิหัวฉีด 225°C	100
4.30 ความสัมพันธ์ระหว่างค่าความแข็งของโพลิเมอร์ผสม PP/PA-6/EPDM กับปริมาณ PA-6 และ EPDM ที่อุณหภูมิหัวฉีด 225°C	101
4.31 ความสัมพันธ์ระหว่างค่าอัตราการให้ตัวกับค่าความหนาแน่นของ โพลิเมอร์ผสม PP/PA-6/EPDM ที่อุณหภูมิ 225°C	131
4.32 ความสัมพันธ์ระหว่างค่าอัตราการให้ตัวกับค่าความทนต่อแรงดึงของ โพลิเมอร์ผสม PP/PA-6/EPDM ที่อุณหภูมิ 225°C	131
4.33 ความสัมพันธ์ระหว่างค่าอัตราการให้ตัวกับค่าไมอุตถะความยึดหยุ่นของ โพลิเมอร์ผสม PP/PA-6/EPDM ที่อุณหภูมิ 225°C	132
4.34 ความสัมพันธ์ระหว่างค่าอัตราการให้ตัวกับค่าไมอุตถะความยึดหยุ่นของ โพลิเมอร์ผสม PP/PA-6/EPDM ที่อุณหภูมิ 245°C	132
4.35 ความสัมพันธ์ระหว่างค่าอัตราการให้ตัวกับค่าความแข็งของ โพลิเมอร์ผสม PP/PA-6/EPDM ที่อุณหภูมิ 225°C	133
4.36 ความสัมพันธ์ระหว่างค่าความหนาแน่นกับค่าความทนต่อแรงดึงของ โพลิเมอร์ผสม PP/PA-6/EPDM ที่อุณหภูมิหัวฉีด 225°C	133

4.37 ความสัมพันธ์ระหว่างค่าความทันต่อแรงดึงกับค่าไมโครสติกวณิชค่าไขดยุ่นของ โพลิเมอร์ผสม PP/PA-6/EPDM ที่อุณหภูมิหัวฉีด 225 °C.....	134
4.38 ความสัมพันธ์ระหว่างค่าความทันต่อแรงดึงกับค่าความแข็งของ โพลิเมอร์ผสม PP/PA-6/EPDM ที่อุณหภูมิหัวฉีด 225 °C.....	134
4.39 ความสัมพันธ์ระหว่างค่าไมโครสติกวณิชค่าไขดยุ่นกับค่าความแข็งของ โพลิเมอร์ผสม PP/PA-6/EPDM ที่อุณหภูมิหัวฉีด 225 °C.....	135
5.1 การเปรียบเทียบค่าความทันต่อแรงดึงระหว่างโพลิเมอร์ผสม PP/PA-6(50/50) กับ PP/HDPE(50/50).....	151
5.2 การเปรียบเทียบค่าความทันต่อแรงกระแทกระหว่างโพลิเมอร์ผสม PP/PA-6(50/50) กับ PP/HDPE(50/50).....	151
5.3 การเปรียบเทียบค่าความแข็งระหว่างโพลิเมอร์ผสม PP/PA-6(50/50) กับ PP/HDPE(50/50).....	152